

1 星际介质与恒星形成

分布在星际空间的物质，主要包括星际气体、星际尘埃、宇宙线和星际磁场。在银河系中，星际物质的质量约占银河系恒星质量的 10%，主要分布在距离银道面约 1000 ly 的范围内。

1.1 星际气体和星际尘埃

基本成分：

表 1: 星际气体和星际尘埃的基本成分

性质	星际气体	星际尘埃
质量百分比	99%	1%
组成	70%H, 28%He, 其余 N, Ne, Na	冰、硅、石墨等固体粒子
粒子数密度	$10^{-4} - 10^6 \text{ cm}^{-3}$	$10^{-13} \text{ cm}^{-3}$
质量密度	$10^{-24} \text{ g} \cdot \text{cm}^{-3}$	$10^{-27} \text{ g} \cdot \text{cm}^{-3}$
温度	20 K, 100 K, 10000 K, H <sub>2</sub> , HI, HII	10–20 K
研究手段	星际吸收线、氢 21 厘米谱线，分子谱线	星际消光和红化、星际极化、红外热辐射

1.1.1 星际气体

星际气体的组成元素主要是氢元素。星际气体的空间分布不均匀，不同环境下 H 的存在方式不一样。

表 2: 不同成分的星际介质

成分	观测证据	温度 (K)	数密度 ( $\text{cm}^{-3}$ )	质量百分比
分子云	红外辐射、紫外吸收线、CO 射电和红外辐射	10–50	$10^2 - 10^9$	40%
HI 区	21 厘米谱线，紫外吸收线	50–100	1–50	40%
HII 区	光学和红外发射线、射电连续辐射	$10^4$	$10 - 10^4$	极少
云际气体	21 厘米谱线	$7000 - 10^4$	0.2–0.3	20%
云际冕气	X 射线辐射	$10^6$	$10^4 - 10^{-3}$	0.1%

星际气体的物理状态与物质循环

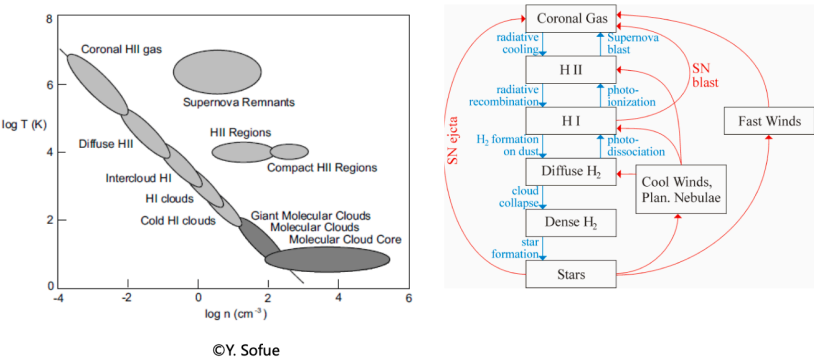


图 1: 星际气体的物理状态和物质循环。

### 1.1.2 电离氢气体

发射星云：被高温恒星的紫外辐射电离的星际物质，也被称为 HII 区  
具有容许和禁戒发射线，颜色偏红，典型温度  $\sim 8000\text{ K}$   
比如 O 型附近的斯特龙根球。

### 1.1.3 中性氢气体

星际吸收线：星际气体中的原子受恒星紫外光子的电离而产生吸收线。由于星光可能穿过多块气体云，可能会出现多重吸收线。

星际气体低温  $\rightarrow$  窄吸收线

### 1.1.4 分子氢气体

暗星云中心区域的射电观测无法探测到 21 厘米谱线。后来人们认识到暗星云主要由分子氢构成，加上少量尘埃和复杂分子。

示踪分子：氢分子不发射射电辐射，但是其他分子发射线大部分由氢分子的热运动碰撞激发产生。如利用 CO 分子的 2.6mm 射电辐射可以研究氢分子的分布

分子云：通过对 CO 分子的观测，发现星际分子聚集成团而形成分子云，质量  $10^6 M_\odot$ ，直径 600 ly，密度  $10^3\text{--}10^5\text{ cm}^{-3}$

分子云占据银盘内大约 1% 的空间，质量大约占星际气体总质量的 50%

巨分子云：质量  $10^6 M_\odot$ ，直径 300 ly，温度 20 K，数密度  $100\text{--}300\text{ cm}^{-3}$ ，寿命  $10^7\text{--}10^8\text{ yr}$ 。大约 10% 的分子云足够致密，可以形成恒星

### 1.1.5 星际尘埃

星际尘埃对星光的散射截面随波长的变化而不同

$$\sigma_\lambda \propto \frac{a^3}{\lambda}, \lambda \geq a, \quad (1.1.1)$$

$$\sigma_\lambda \propto a^2, \lambda \ll a. \quad (1.1.2)$$

因此尘埃对蓝光吸收和散射较多而对红光散射较少，导致星际消光和红化。

成分为硅或石墨颗粒，外面被冰或二氧化碳包裹

星光偏振现象  $\rightarrow$  尘埃呈长条形 (?)

部分形成于红巨星的外层大气，在恒星演化晚期被吹向星际空间

星际尘埃提供了原子聚集形成分子的场所，并屏蔽了星光中的紫外线使分子免遭瓦解。

还有催化剂的作用

星际尘埃的观测：

光学观测：反射星云和暗星云

反射星云：星云通过尘埃反射附近的热星的光而发光，颜色偏蓝

暗星云：大量尘埃阻挡了星云内部或恒星后面的星光

红外观测：尘埃的热辐射。尘埃粒子受宇宙线和附近热星辐射的加热，温度可以达到 100 K，产生红外热辐射。

## 1.2 恒星形成

### 1.2.1 简单分析

银河系内恒星总质量  $5 \times 10^{10} M_{\odot}$ , 年龄  $10^{10}$  yr, 因此银河系平均恒星诞生率  $5 M_{\odot} \text{yr}^{-1}$ .

O 型星寿命约  $10^6$  yr, 是最近形成的天体, 观测 O 型星确定目前的恒星诞生率为  $1.65 M_{\odot} \text{yr}^{-1}$ .

康德-拉普拉斯星云说: 太阳系起源于旋转的星云, 由于冷却凝缩, 星云旋转速度加快, 呈扁平状, 当离心力超过引力时逐渐分裂出许多环状物。星云中心部分凝聚成太阳, 各个环状物碎裂并凝结成围绕太阳运行的行星。

后来人们逐渐认识到, 恒星形成与分子云的引力坍缩有关。

星云质量足够高时, 引力超过热运动提供的压力, 就会引起星云坍缩。极限质量被称为金斯质量。动能  $K = \frac{3}{2} N k_B T$ , 势能  $U \sim -\frac{3}{5} \frac{GM^2}{R}$ ,  $2K < |U|$  时星云坍缩。

金斯判据只适用于均匀分布的气体。实际上气体的状态和环境十分复杂, 需要考虑的因素包括星系产生的潮汐力, 分子云的转动、湍动和磁场, 分子云的形态等等。

位力定律分析:

无粘性流体的运动方程为:

$$\rho \frac{d\mathbf{u}}{dt} = -\nabla P - \rho \nabla \phi_g + \frac{1}{c} \mathbf{J} \times \mathbf{B}. \quad (1.2.1)$$

$$\rho \frac{d\mathbf{u}}{dt} = -\nabla P - \rho \nabla \phi_g + \frac{1}{4\pi} (\mathbf{B} \cdot \nabla \mathbf{B}) - \frac{1}{8\pi} \nabla |\mathbf{B}|^2. \quad (1.2.2)$$

不考虑外界压强, 即自引力主导下, 方程转化为

$$\frac{1}{2} \frac{\partial^2 I}{\partial t^2} = 2T + 2U + W + M, \quad (1.2.3)$$

其中转动惯量  $I = \int \rho |\mathbf{r}|^2 d^3x$ , 动能  $T = \frac{1}{2} \int \rho |\mathbf{u}|^2 d^3x$ , 热能  $U = \frac{3}{2} \int n k T d^3x$ , 引力势能  $W = \frac{1}{2} \int \rho \phi_g d^3x$ , 磁能  $M = \frac{1}{8\pi} \int |\mathbf{B}|^2 d^3x$ .

气体云在引力坍缩时,  $\frac{1}{2} \frac{\partial^2 I}{\partial t^2} \approx -\frac{GM^2}{R}$ . 坍缩时标

$$t_{\text{ff}} \sim \left( \frac{1}{4\pi G \rho} \right)^{\frac{1}{2}} \sim 5 \times 10^5 \left( \frac{n}{10^4 \text{ cm}^{-3}} \right)^{-\frac{1}{2}} \text{ yr}. \quad (1.2.4)$$

星云坍缩触发机制:

1. 激波压缩: 超新星爆发、热星辐射、银河系旋臂转动等过程产生激波, 激波压缩周围星云, 使其密度增大, 触发恒星形成, 其过程类似链式反应。

2. 星云与旋臂区域碰撞, 由于旋臂密度更高, 星云坍缩, 产生恒星。

恒星形成的 Kennicutt-Schmidt 定律

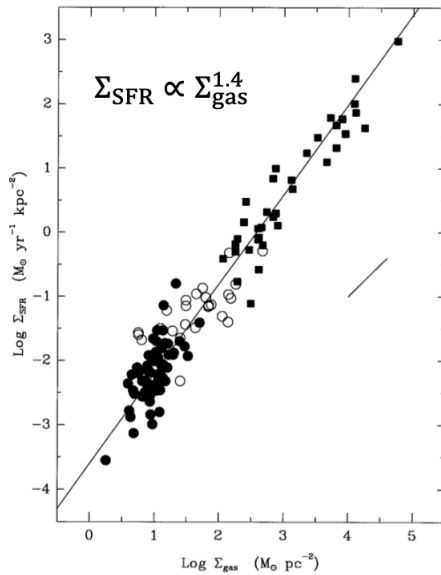
初始质量函数 (Initial Mass Function): 单位体积内形成的恒星的相对数目在质量上的分布, 可以表示成

$$\xi(m) dm = \xi_0 m^{-\alpha} dm, \quad (1.2.5)$$

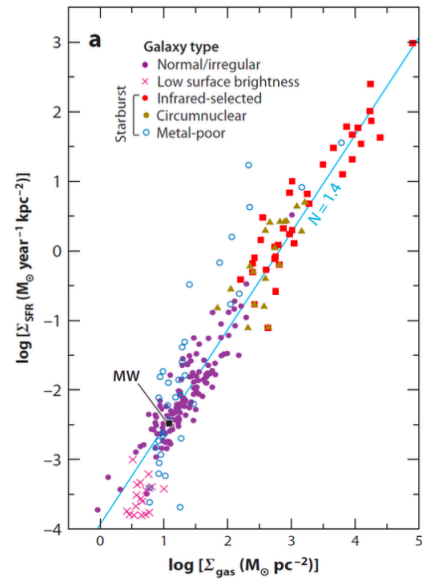
其中  $m = \frac{M}{M_{\odot}}$ . E.Salpeter 最早提出初始质量函数的概念, 并发现  $\alpha = 2.35$ .

### 1.2.2 恒星形成理论

质量越大的恒星, 演化到主序的时间越短, 主序上的位置越高



Kennicutt 1998, ApJ, 498, 541



Kennicutt &amp; Evans 2012, ARA&amp;A, 50, 531 52

图 2: 恒星形成的 Kennicutt-Schmidt 定律

## 低质量恒星的形成

### 1. 分子云和云核

最初大体处于流体静力学平衡，分子云缓慢旋转和收缩，引力能转化为动能进而转化为内能，产生辐射。由于云核光学薄，热量可以不受阻碍地逃逸，云核等温坍缩。

由于旋转速度加快，此时分子云可以分裂成更小的云核，云核进一步收缩和分裂，导致密度上升，金斯质量下降。核心逐渐变得不透明，趋向绝热坍缩，温度迅速上升，金斯质量增大，云核停止分裂，开始坍缩。

### 2. 云核引力坍缩

坍缩时标

$$\frac{d^2r}{dt^2} = -\frac{GM_r}{r^2} \rightarrow t_{\text{ff}} = \left( \frac{3\pi}{32G\rho} \right)^{\frac{1}{2}}. \quad (1.2.6)$$

密度均匀的星云同步坍缩，中心致密星云自内向外坍缩

由于角动量大小的差异，中心区域的气体直接落入引力势阱中形成原恒星，而外层气体形成一个围绕中心区域旋转的扁平吸积盘。

### 3. 原恒星的吸积与成长

原恒星通过吸积盘快速吸积气体。转动和磁场产生的喷流成功带走吸积盘气体角动量，进而吸积盘可以吸附质量。内部完全对流，赫罗图上沿林中四郎线演化

### 4. 主序前星的形成与演化

吸积率下降，外向流张角变大，原恒星质量不再实质增长，成为主序前星，但内部温度还未升高到 H 的点火温度。原恒星以热时标收缩。中心星的辐射和星风驱散部分吸积物质，其余部分形成原行星盘。

### 5. 零龄主序

核心的热核反应开始进行，光度约为目前太阳光度的三分之二

## 大质量恒星形成的问题

观测方面，新生的大质量恒星深埋在致密的云核中，观测时标短。此外，紫外辐射对环境的破坏导致很难追溯初始形成条件。理论方面，恒星的辐射加热、电离周围气体会阻碍其坍缩和吸积。

模型有三种，

### 1. 云核直接坍缩

小质量恒星形成模型的放大版本,  $M_J > 10 M_\odot$ , 辐射加热或湍动、磁场主导内部压力。但是湍动作用未知, 尚未观测到大质量恒星前核。

## 2. 竞争吸积

$M_J \sim 0.5 M_\odot$ , 处于引力优势位置的原恒星更容易通过吸积周围的气体生长, 但这样提供的恒星形成效率低。

## 3. 小质量原恒星的并合, 要求原恒星中心数密度达到 $10^8 \text{ pc}^{-3}$ .

### 极小质量恒星可能的形成机制

湍动分子云核的分裂

多个原恒星胚胎相互作用时被抛出的较小的个体

原恒星盘的碎裂

原恒星核的光致腐蚀

### 1.2.3 其他问题

形成恒星的云核的角动量比恒星大几个量级, 说明角动量转移到多星系统的轨道角动量或通过吸积盘向外转移

星云的转动坍缩往往伴随多星系统的形成

转动星云在坍缩过程中会形成围绕原恒星旋转的环或盘。

O、B 型恒星表面温度高能产生大量紫外 ( $\lambda < 912 \text{ \AA}$ ) 光子电离氢, 产生 HII 区。如斯特龙根球就是年轻 O、B 型恒星周围存在的电离氢区。光致电离产生的大量自由电子之间相互频繁碰撞, 建立电子气的平衡态速度分布。